

神戸大学工学部

正員 ○藤井 学

大学院 学生員 在賀良助

堺村雄祐

プレテンション方式P.C.はりが曲げによってひびわれを発生すると、その附近にflexural bondが生じ、荷重の増加とともに材端にむかって進行し付着破壊の原因となる。本研究は、中12.8高強度ストランドを用いたはりの静的曲げ試験を行ない、高強度ストランドのflexural bond性状およびその破壊耐力への影響について検討したものである。

§1 実験概要

(1)実験計画 埋込み長(材端から載荷点までの距離と定義する)、プレストレス導入力、鋼材比をえて、表-(1)に示すようなりつけを行なった。

(2)使用材料 ストランド: 公称径12.8mm, 降伏張引張力15.9ton, 最大引張力18.73ton, 断面積0.995cm², 弹性係数 1.96×10^6 kNm² セメント: フサノ早強セメント

(3)供試体の製作 供試体断面は3種で(表-1), 長さはすべて300cmとした。埋込み長の範囲に20cm間隔でストランドにストレインゲージを貼布、防水し所定の引張力まで緊張した。型枠を組んでコンクリートを打設後2日で脱型、供試体側面にゲージを貼布、4日目($\sigma_t = 350$ kNm²)にプレストレス導入、7日目($\sigma_t = 450$ kNm²)に試験を行なった。なおせん断スパン内にせん断破壊を防ぐために腹鉄筋を補強した。

(4)試験方法 導入の際には供試体側面のゲージによってプレストレス分布を測定した。載荷試験においては、材端ストランドのすべく量、たわみ、ストランド応力を測定した(図-1)。

§2 実験結果と考察

(1)flexural bondの進行および付着曲げ破壊 曲げ破壊した供試体と付着破壊した供試体(付着曲げ破

表-1 実験計画および実験結果

供試体番号	埋込み長(cm)	導入力(ton)	PS Tension force (ton)	断面 横断面積(cm ²)	鋼材比 (%)	載荷方法	ひびわれ モード (ton·m)	材端の付着モード モード(Moment)	最大 モード モード (ton·m)	せい ひり 時 付着 力 (ton) (ton _{max})	平均 付着 力 (ton) (%ton)	計算最大 モード モード (ton)	M/ Mcal	M _{max} / Mcal
1	60	13	121	10x21	0.48	C _y *	1045	1238	1656	1257	388	1893	0.65	0.88
2	60	"	"	"	"	S _t **	0.940	1650	1870	14.44	446	"	0.87	0.97
3	80	"	"	"	"	S _t	1125	1406	1927	14.08	326	1880	0.75	1.03
4	80	"	"	"	"	C _y	1125	1313	1875	13.37	310	"	0.70	1.00
5	100	"	"	"	"	S _t	1000	—	1800	(5.50)	(28.7)	1926	—	0.94
6	100	"	"	"	"	C _y	1275	—	2130	(5.90)	(29.4)	"	—	1.11
7	60	10	93	"	"	S _t	1045	1537	1832	1327	410	1889	0.81	0.97
8	80	10	93	"	"	"	0.900	1669	1759	1400	324	"	0.88	0.93
9	60	7	65	"	"	"	0.798	1513	1675	1240	383	1910	0.79	0.90
10	80	7	65	"	"	"	0.788	1651	1806	1435	332	"	0.86	0.86
11	47	88	121	8x16	0.78	"	0.606	0.822	1218	998	393	1070	0.77	1.14
12	62	88	121	8x16	0.78	"	0.570	0.656	1020	897	268	"	0.57	0.96
13	39	55	121	8x13	0.96	"	0.281	0.646	0.697	798	378	1005	0.64	0.64
14	51	55	121	8x13	0.96	"	0.288	0.690	0.697	840	305	"	0.69	0.69

* 静的くわしかえし荷重
** 静的荷重



図-1(1)

壤)の各荷重段階における付着応力分布を図-2)に示す。供試体NO-5はflexural bondが定着域に達する前にコンクリートの圧壊を起したものである。NO-10はflexural bondが定着域に到達したことによって桟端のストランドが滑動を起したものである。滑動が増してゆくとひびわれは拡大し、遂にはコンクリートの圧壊により、はりに抜け破壊した。桟端のストランドがいったんすべり始めても荷重はさらに増加してゆく。

(2)埋込み長と付着強度(すべり時)との関係 支配的なひびわれは載荷点よりも若干内側に発生し、せん断補強したためにせん断スパンには大きなひびわれは発生していない。したがって載荷点間の引張力が載荷点から桟端までの間に定着されると考えてよいので、表-1(1)に示す平均付着強度は載荷点位置のストランド引張力を付着面積で除して求めた。図-3)は埋込み長と平均付着強度(すべり時)との関係を示す。プレテンション P.C. の平均付着強度は埋込み長の増加とともに減少するが、減少の程度は次第にゆるやかになる。transfer bond はその構造の相違によって flexural bond よりもかなり大きな値となる。一方著者らが同じストランドについて埋込み長をかけて行った引抜試験結果によれば、平均付着強度は埋込み長とは無関係に一定であった。図-3)の関係はこれらのことから理解される。

(3)埋込み長と破壊耐力 桟端のすべりを無視して通常の塑性式より破壊モーメント M_{cal} を求めると表-1(1)のようになる。実測破壊モーメント M_{max} と M_{cal} との比、すべりモーメント M_s と M_{cal} との比を表-1(1)の右欄に、またこれをプロットすると図-4)のようになり、埋込み長が小さくなるほど M_{max}/M_{cal} は減少する。これはストランドの滑動が破壊耐力を減少さすためである。したがってプレテンション部材の破壊耐力の設計ではストランドの滑動が考慮されねばならないであろう。

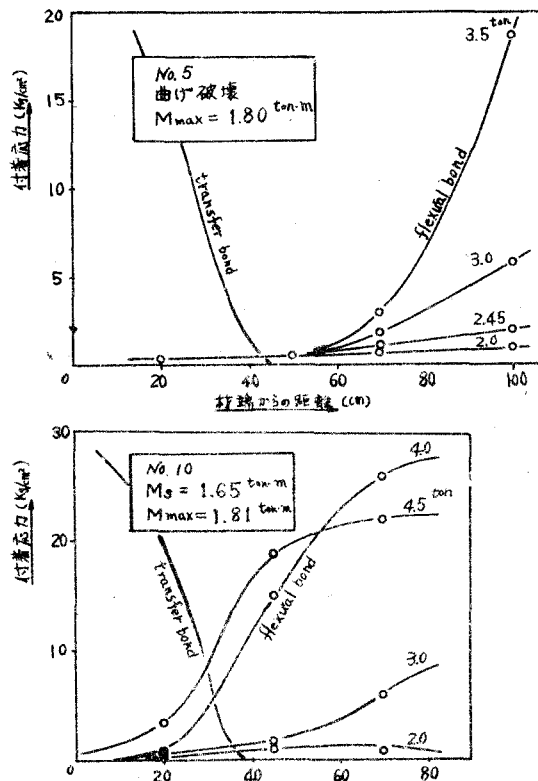


図-2)

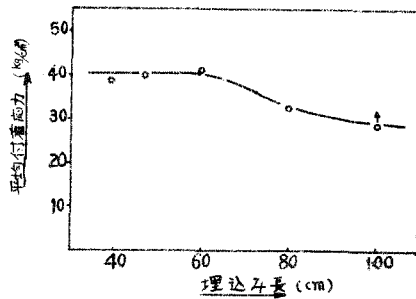


図-3)

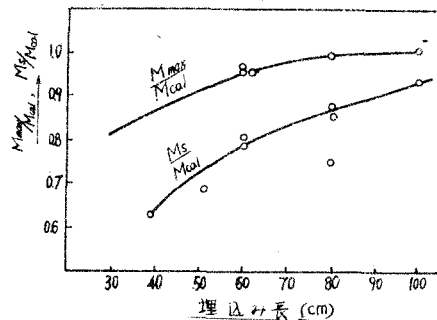


図-4)